

III - 5 自由振動法による土の減衰定数測定装置の試作

千葉工業大学 学生員 ○中村光利 建設省土木研究所 正員 谷口栄一 正員 小笠原久

1. まえがき

地盤および土構造物が地震、交通荷重および建設工事振動荷重等の動的荷重を受けた時の応答を求めるためには動的解析を行なう必要があり、動的解析を行なうにあたっては地盤の動的性質を知ることが不可欠である。土の動的性質を表わす方法としてはいろいろなものがあるが、動的せん断弾性係数 G や減衰比 η を用いるのが一般的である。

ここでは、せん断歪が $10^5 \sim 10^3$ という微小範囲における土の減衰比を測定するために試作した減衰定数測定装置を紹介し、不擾乱粘土を用いた実験結果を報告する。

2. 実験装置の概要

図1に実験装置の概要を示す。本装置では供試体下部を固定し、上部に強制的にねじり変位を与える。それを急激に除去することによって供試体が自由振動を行なうようになっている。強制ねじり変位は上部やデスターと連結させた長さ850mmの載荷バーの一端に変位負荷装置により人為的に加える。この時のねじり変位の大きさは4種のカムによって自由に変えることができる。

本装置の特徴は上部やデスターと載荷バーを連結するロッドがセル上盤と接触するのを防ぐために、エアーベアリングおよびユニバーサルジョイントを用いたことであり、本装置の基本構造はTaylor⁽¹⁾が考案したものである。

エアーベアリングはロッドの周囲に、径0.5mmの8つのノズルから圧縮空気を吹き付け、ロッドとセル上盤の接触を完全に防ぐために用いる。ロッドと周囲の壁との間隔は0.035mmである。

ここで、エアーベアリングの効果を最大限に生かすためにはロッドが傾いてはならない。したがって試料の傾きによる影響を除くために、ユニバーサルジョイントが取り付けられている。また本装置では上部やデスターに取り付けられた加速度計を用いて加速度を測定する。

供試体は高さ15cm、直径7cmの円柱形である。側圧としては空気圧

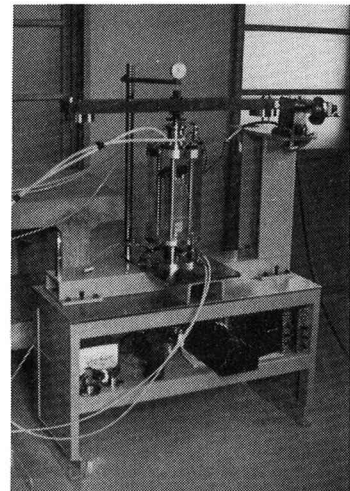


写真-1

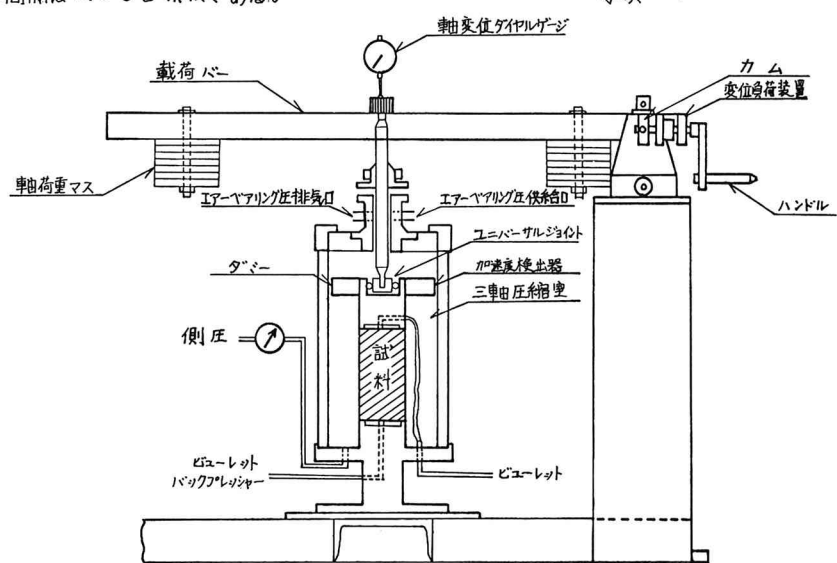


図-1 減衰定数測定装置略図

を作用させ、軸圧は載荷板

両端にマスを取り付ける事
によつて載荷できる。

3. 実験に用いた試料

実験に用いた

試料は千葉県市

川市の埋立地か

ら採取した不規

則粘土である。

表1に土質定数を示す。

4. 実験方法

供試体をセル内に設置後拘束圧を等方に 1.0 kg/cm^2 作用させ、
24時間圧密後振動測定を行なつた。続いて同一の試料について
拘束圧を $1.2, 1.4, 1.6, 1.8, 2.0 \text{ kg/cm}^2$ に変化させ、
それぞれの拘束圧において24時間圧密後振動測定を行なつた。

強制ねじり変位はカムを順次交換して、小さい方から順に永久ひずみの残らない程度の大きさまで与えた。振動波形はフィルターを通して、電磁オシログラフに記録した。

エアーベアリングは 5 kg/cm^2 に設定し、テスターを用いて非接触の状態であることを確認しながら実験を進めた。供試体のせん断歪みは波形記録の片振幅および振動数より計算したが、供試体上端の中心から半径の $2/3$ の点の値を代表値とした。また供試体の減衰比は波形記録の隣り合った3個の加速度振幅を用いて最小二乗法により計算した。この時の値に対応するせん断歪みは3個の値のうち中間の値を用いた。

5. 実験結果および考察

記録波形の一例を図2に示す。これは拘束圧 1.6 kg/cm^2 、初期せん断歪み 2.03×10^{-5} の記録例であるが、きれいな波形が得られた。図3にせん断歪みと減衰比の関係を示す。せん断歪みが 10^{-5} 附近の減衰比は $1\sim3\%$ 、 10^{-4} 附近では $5\sim7\%$ になっている。またせん断歪みが 10^{-5} より大きくなると急激に減衰比が大きくなる傾向が見られる。

次にせん断歪みに対する拘束圧の影響を図4に示す。せん断歪みが 10^{-5} 附近では拘束圧の影響はあまり見られないが、 10^{-4} 前後からそれ以上では拘束圧が大きい程せん断歪みの値も大きく、その影響はかなり大きい。

以上が今回試作した減衰定数測定装置による得られた結果の一例であるが、他の研究者が行なつている実験により得られた粘土の減衰比と比較してみるとほぼ妥当な値が得られたと考えられる。

今後の課題としては、せん断歪みが 10^{-5} 以下のひずみ領域における減衰比の測定を可能にすることおよび、 1.0 kg/cm^2 以下の軸荷重に対しても測定できるようにすること等が考えられる。

(参考文献) K.P.W.Taylor, I.M.Parton, "Dynamic Torsion Testing of Soils" Proc.of the 8th Int.Congr.on S.M.EE, P.B.

表-7 土質定数

土質名	深度(有効被覆)(m)	含水比(%)	単位体積重量(Kg/cm ³)	土粒子の比重	液性限界(%)	塑性限界(%)	塑性指数	間隙比
シルト質粘土	3.8	0.401	62.6	1.54	2.62	66.5	29.8	36.7

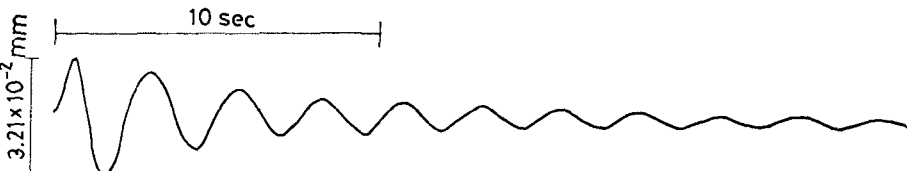


図-2 記録波形の一例

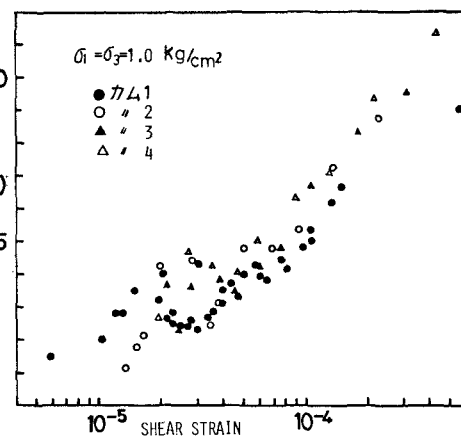


図-3 hとσの関係

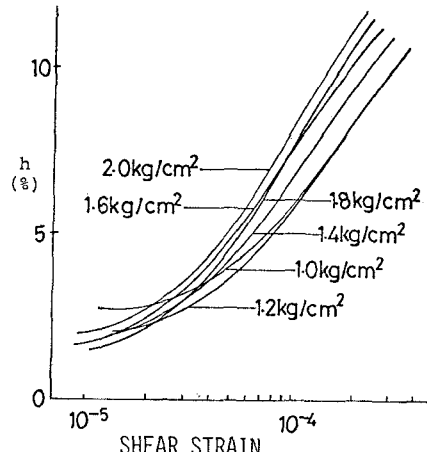


図-4 hとσの関係に対する拘束圧の影響